

# Modélisation de solides déformables

# Plan

## I. Présentation et première approche

- A. Inspiration
- B. Étude d'un mouvement
- C. Première solution : les systèmes masse-ressort

## II. Réalisation

- A. Première méthode d'intégration : Euler
- B. Deuxième Méthode : Runge Kutta
- C. Problème de la réaction du support

## III. Deuxième approche

- A. Modèle du gaz parfait
- B. Confirmation avec expérimentation

# Présentation du problème et première approche

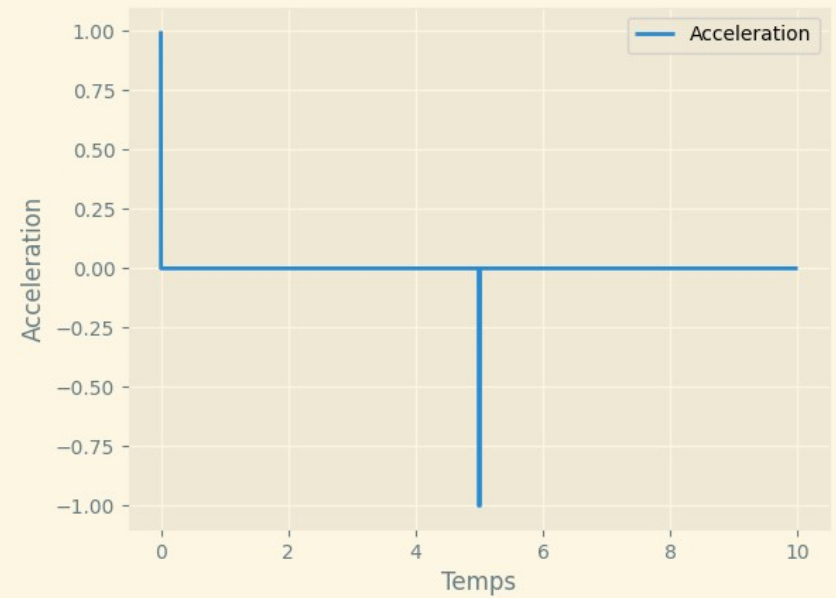
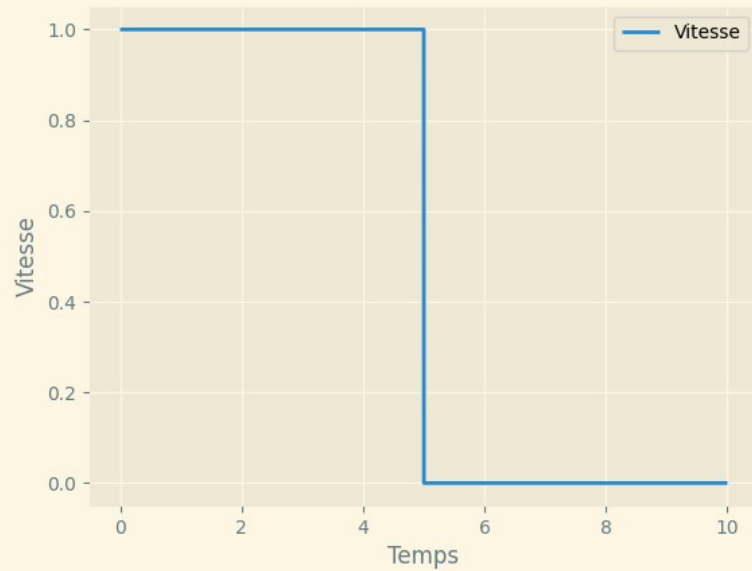
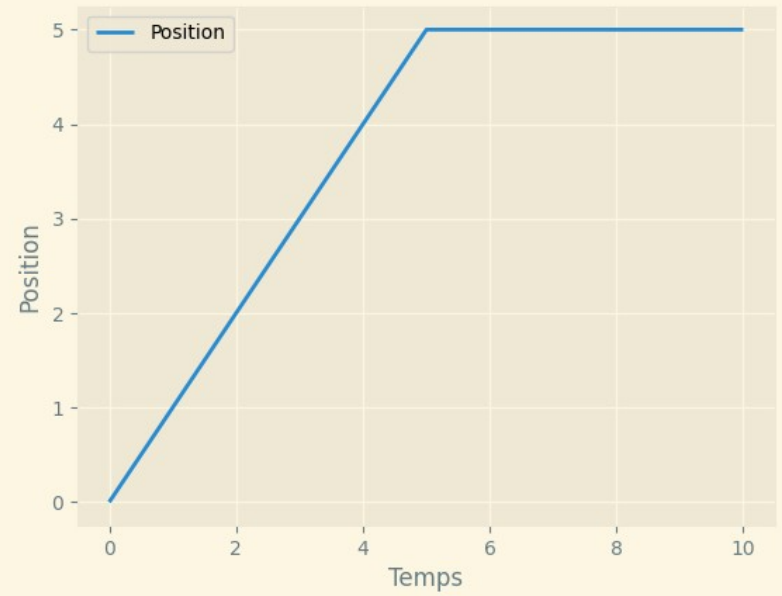
# Inspiration



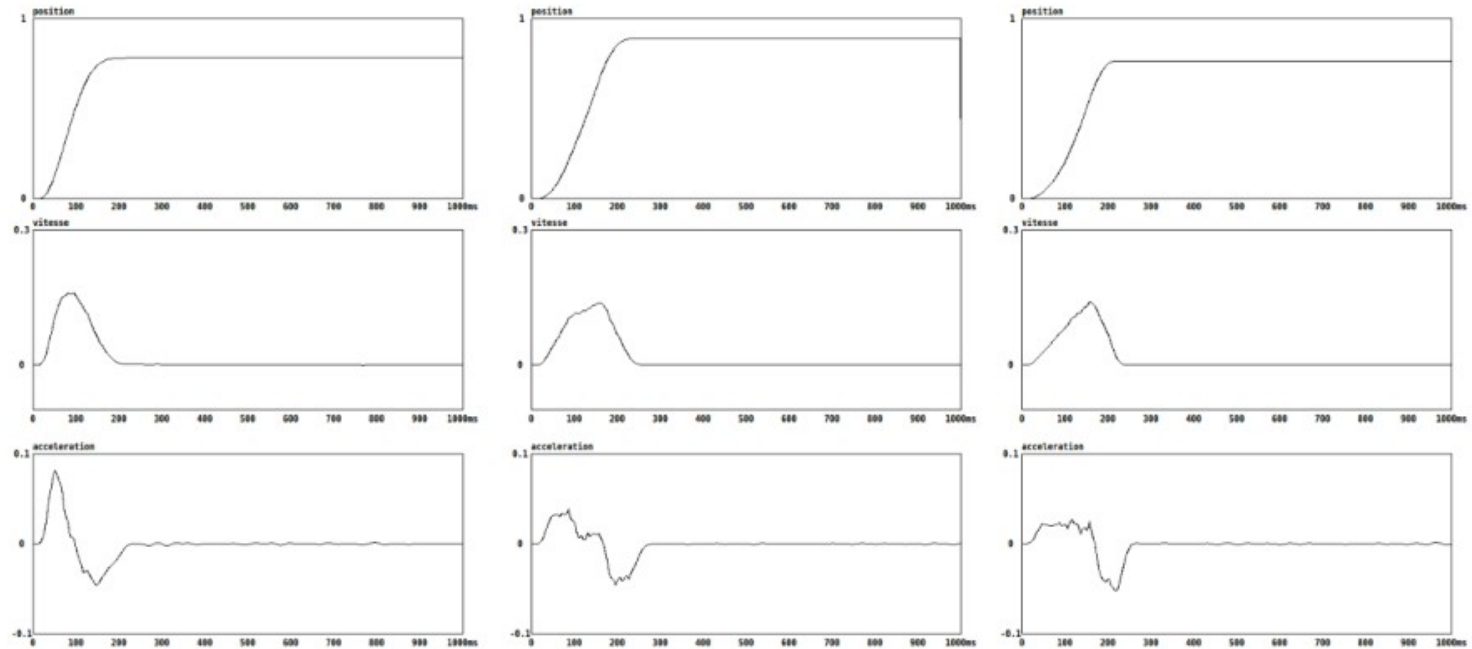
# Modélisation réaliste du mouvement



# Modèle informatique simple

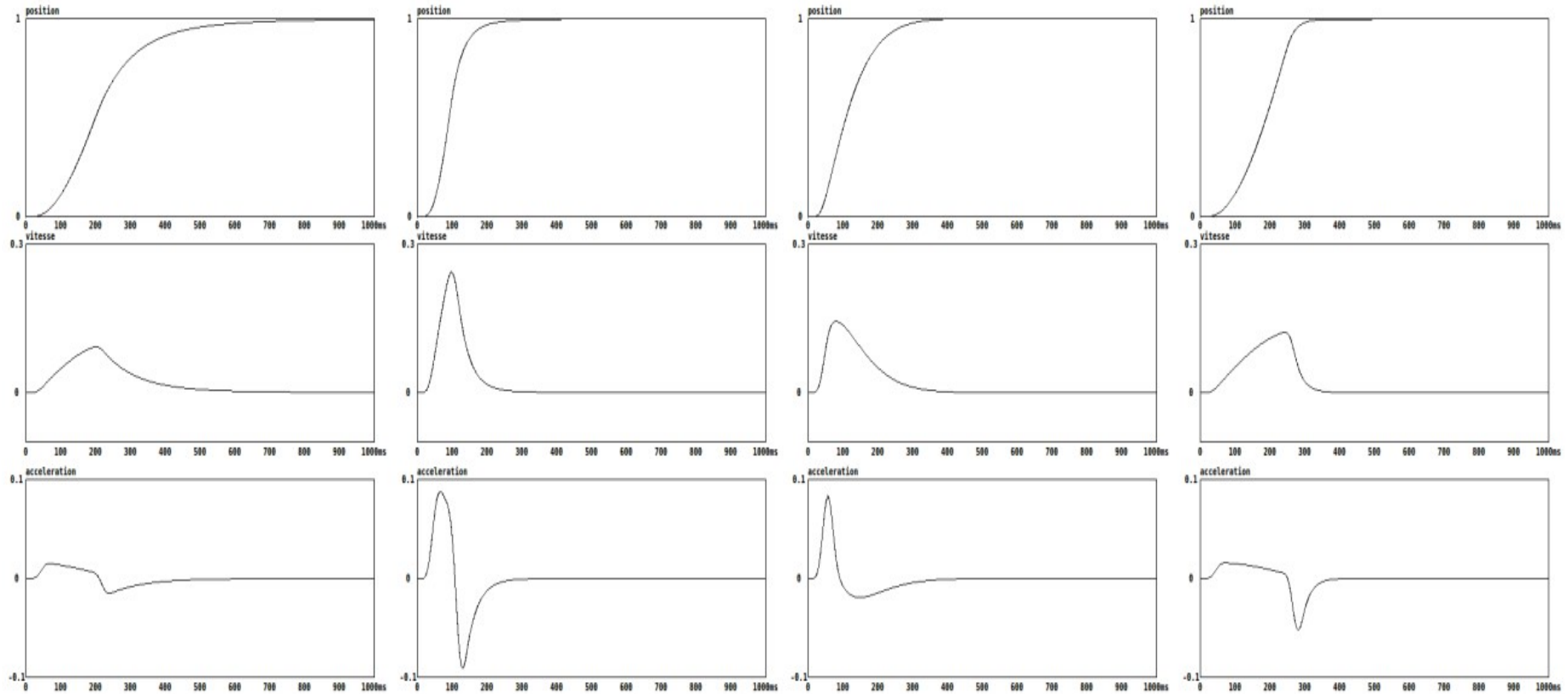


# Mouvements naturels

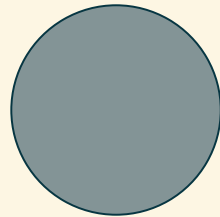




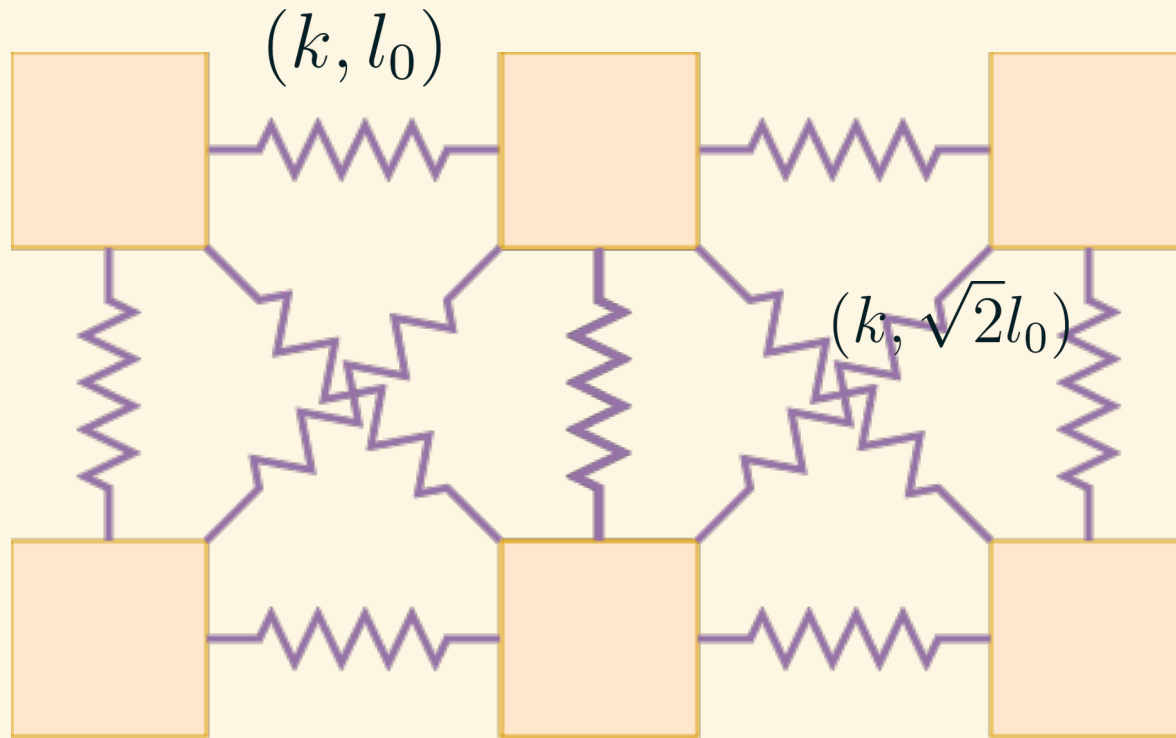
# Mouvements type Système masse-ressort



# Simplification



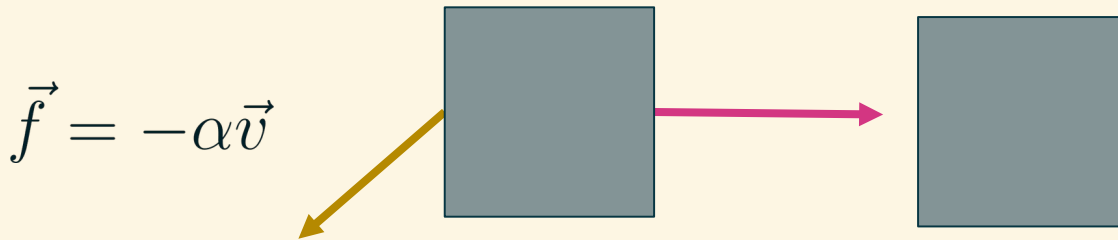
# Structure du système



## II. Réalisation

# Méthode d'Euler

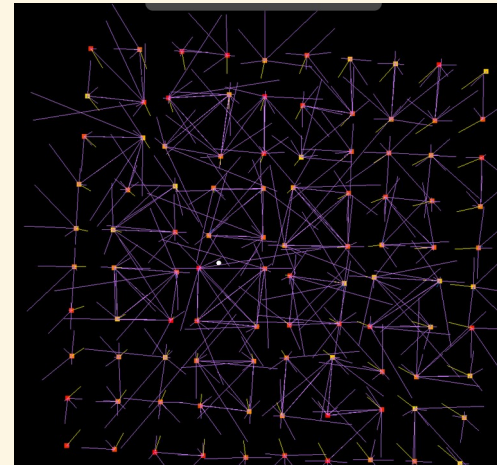
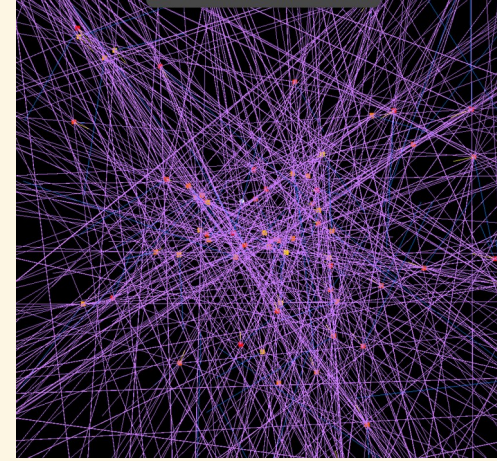
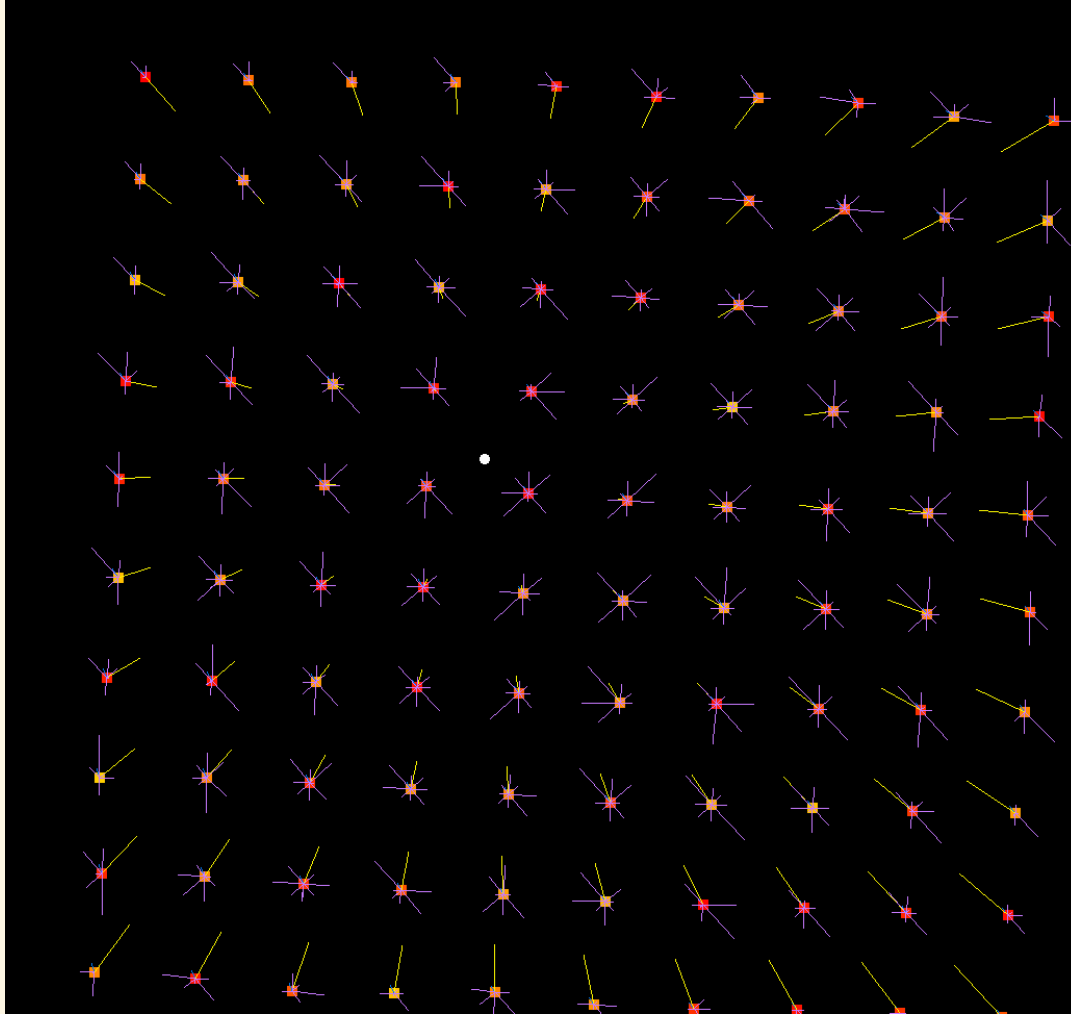
$$\vec{R} = k * (l - l_0) \vec{e}_x$$



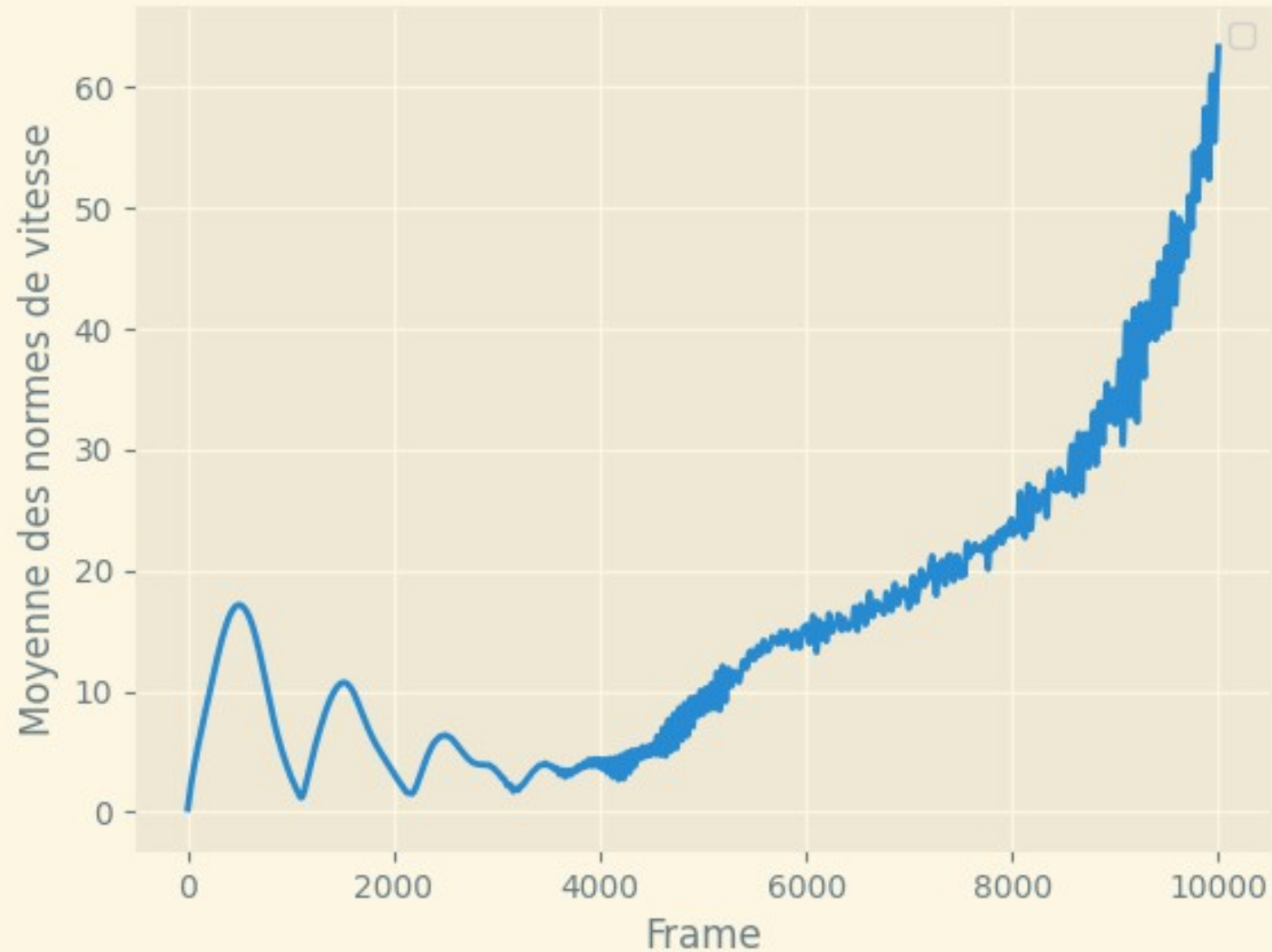
$$x[t + 1] = x[t] + v[t] * dt$$

$$v[t + 1] = v[t] + \text{acceleration}(t) * dt$$

# Premier algorithme



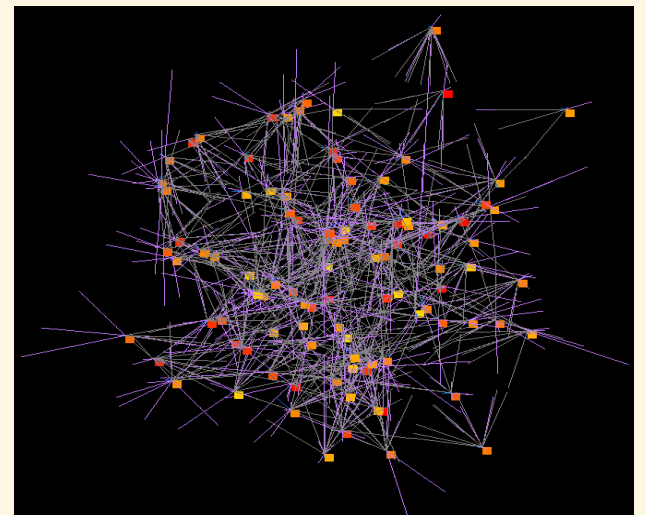
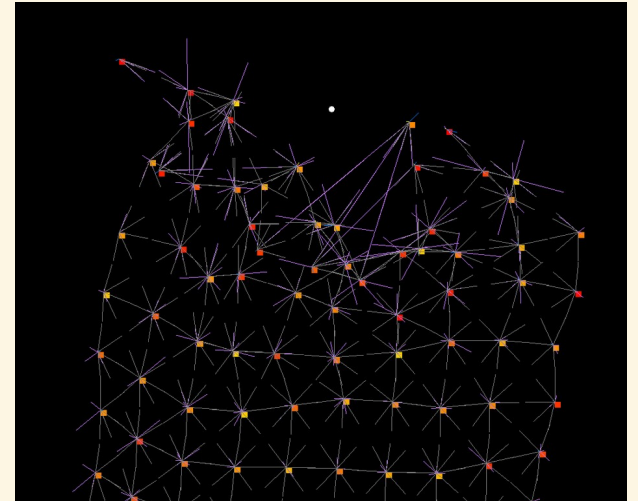
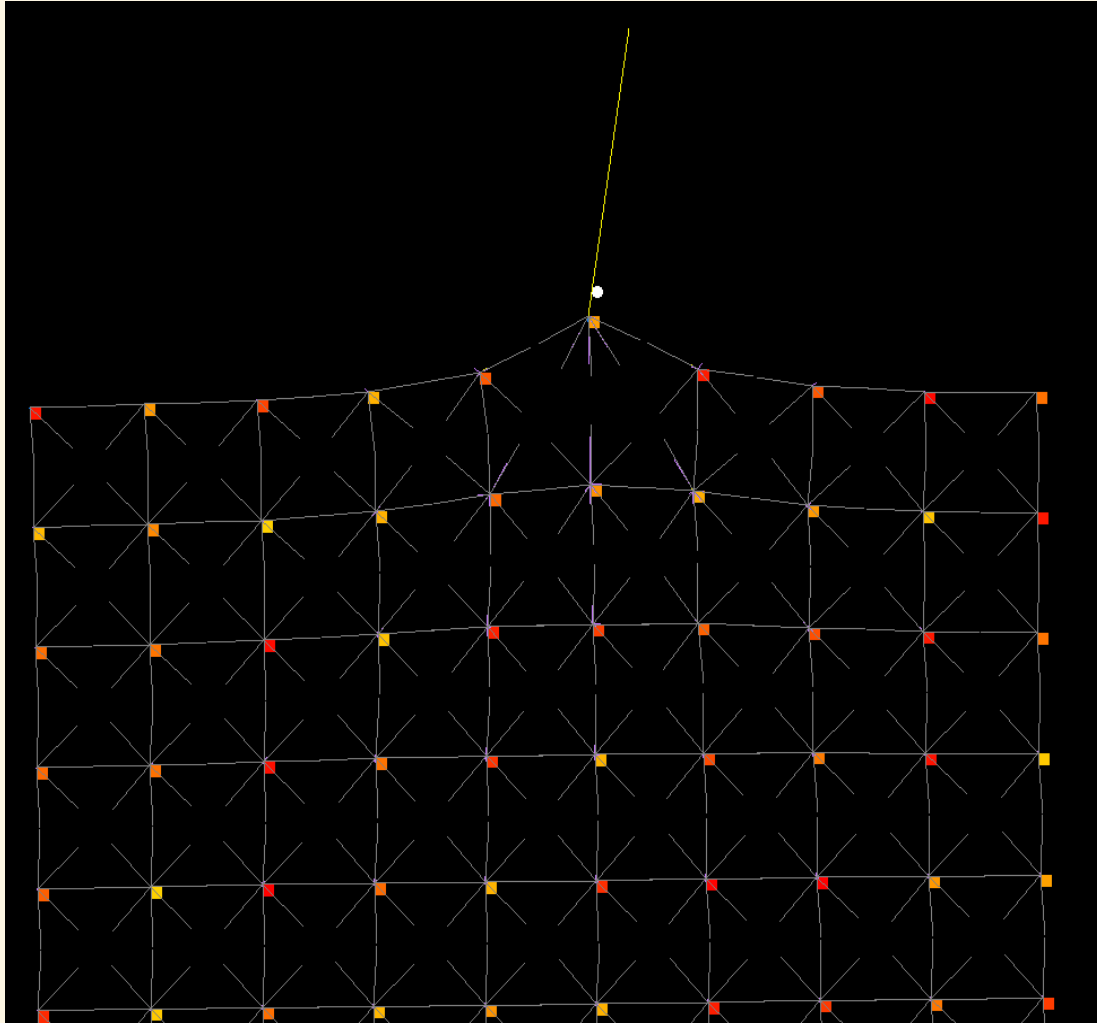
# Premier résultat



# Méthode de Runge-Kutta



# Expérimentatio n

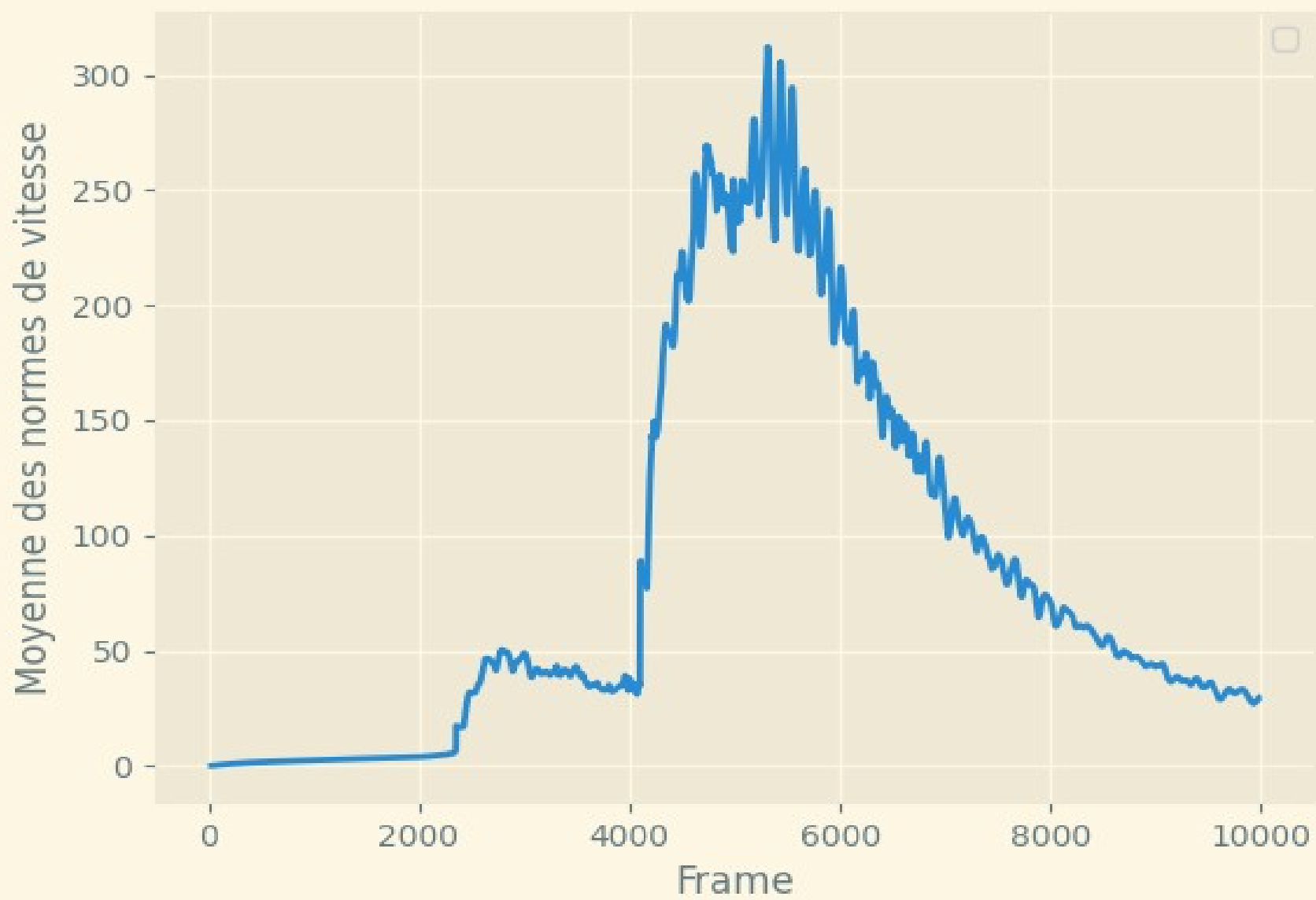


$$\begin{cases} y' = z \\ z' = f(t, y, z) \end{cases}$$

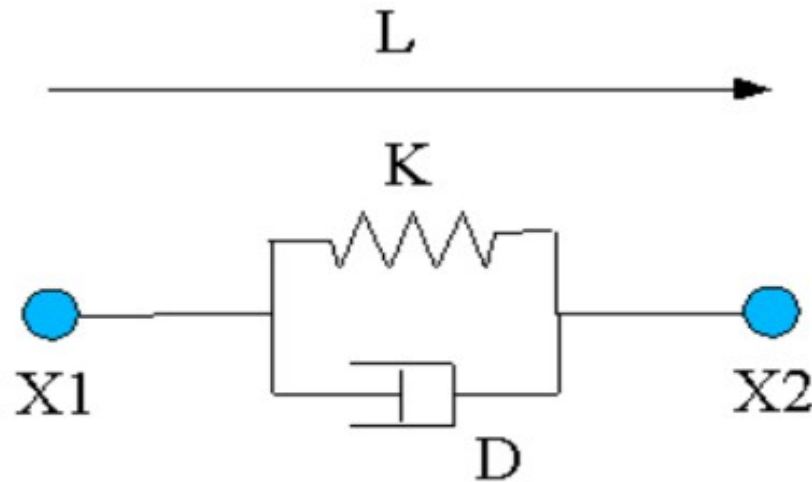
$$Y' = F(t, Y), \text{ avec } Y(t) = \begin{pmatrix} y(t) \\ z(t) \end{pmatrix}, Y(t_0) = \begin{pmatrix} y_0 \\ y'_0 \end{pmatrix}$$

$$y'' = f(t, y, y'), \tag{1}$$

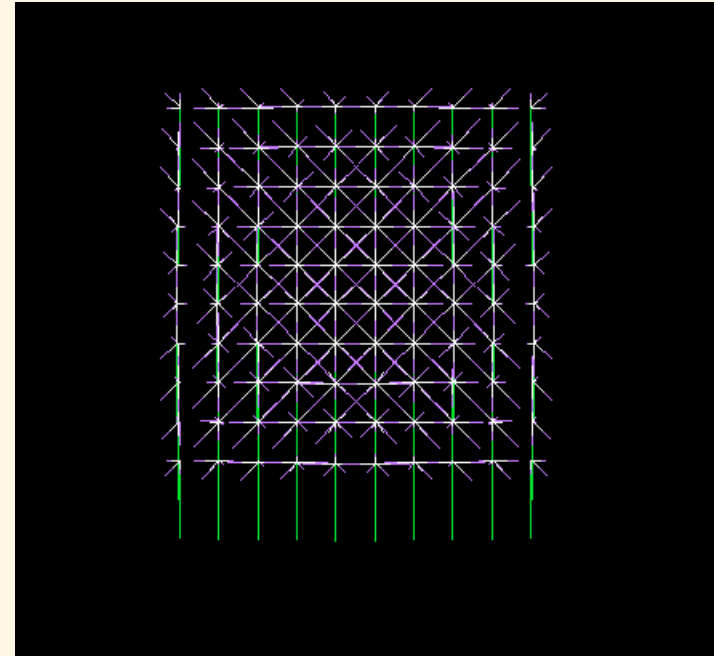
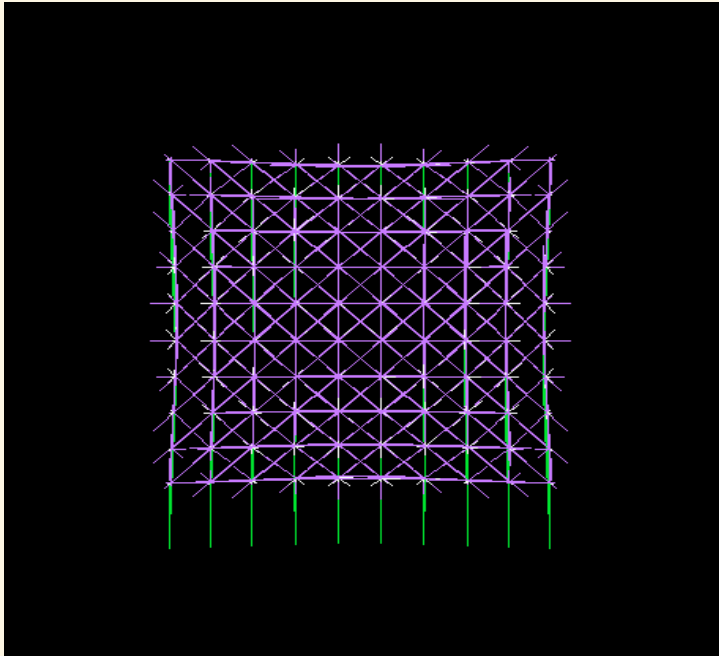
$$y(t_0) = y_0, \quad y'(t_0) = y'_0 \tag{2}$$



# Nouvelle description du système



# Effet de respiration



gravité

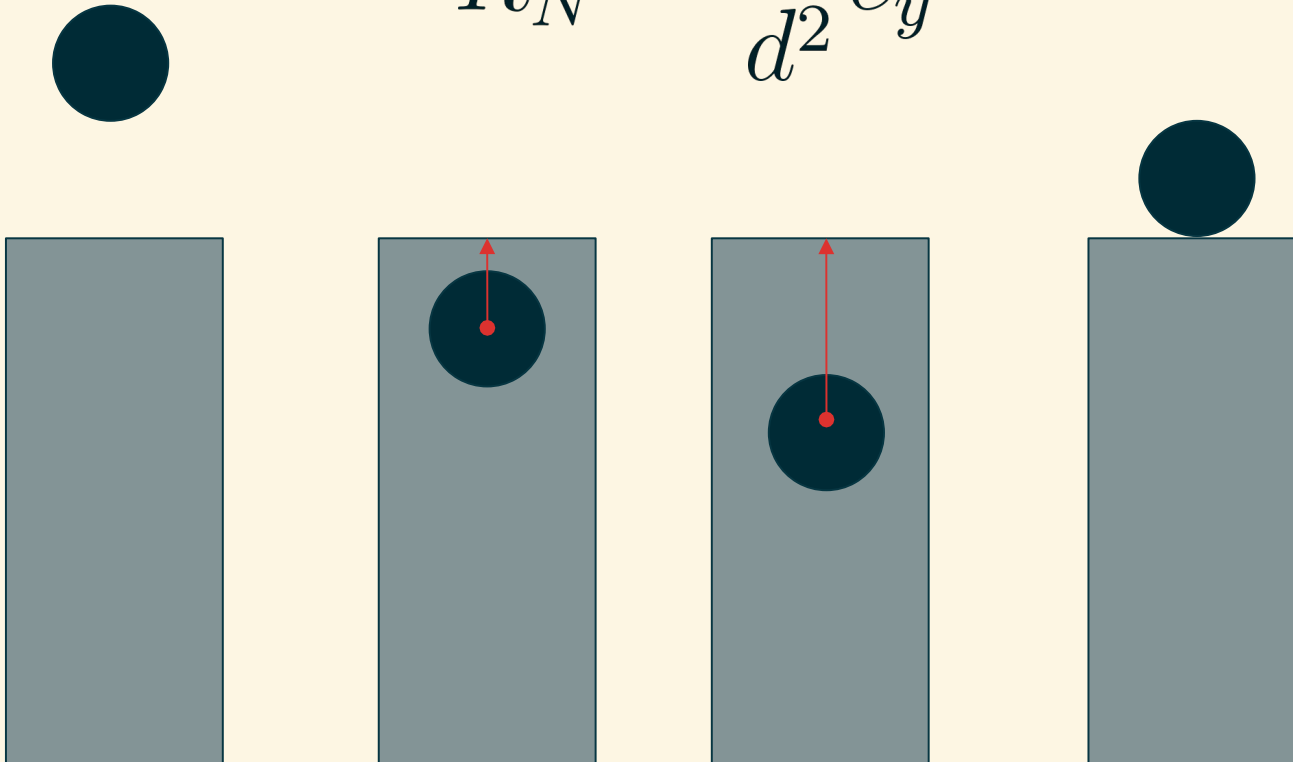
frottement du  
ressort

force de ressort  
élastique

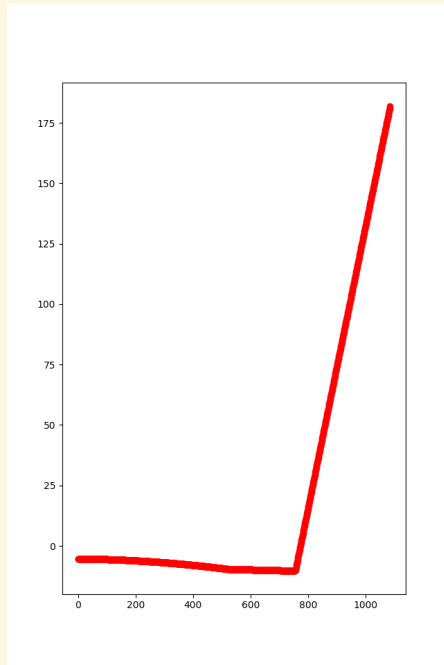
# Collisions

# Collision “magnétique”

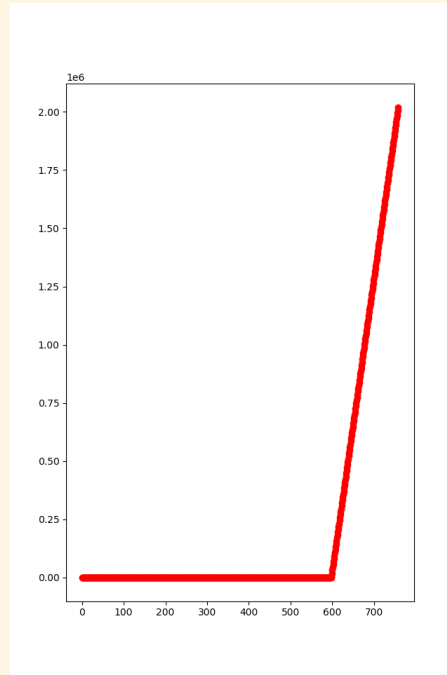
$$\vec{R}_N = \frac{K}{d^2} \vec{e}_y$$



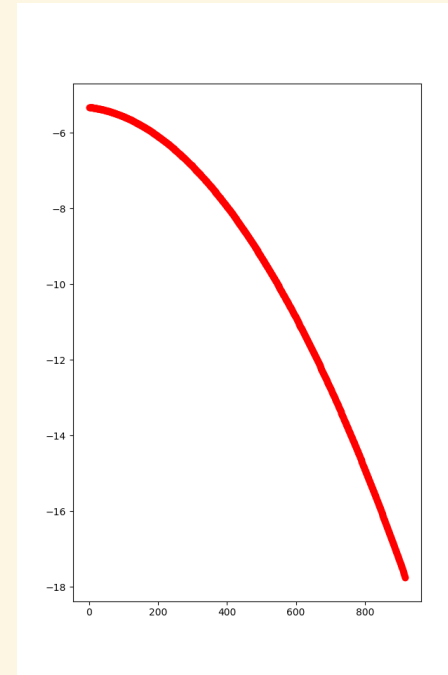
# Résultats pour différentes valeurs de K



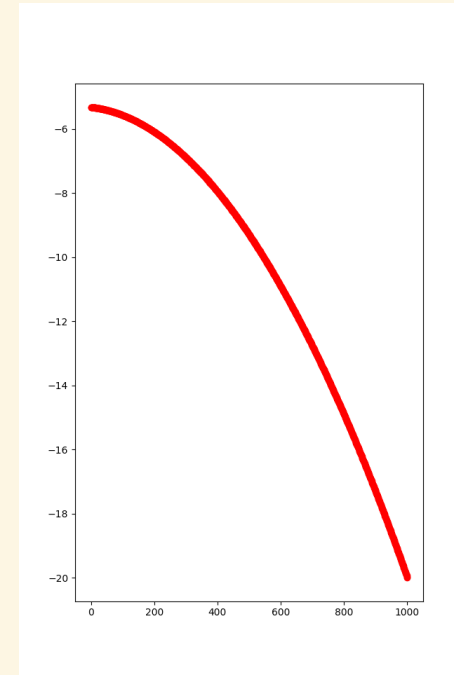
$K = 1.0$



$K = 1.0e - 1$



$K = 1.0e - 2$

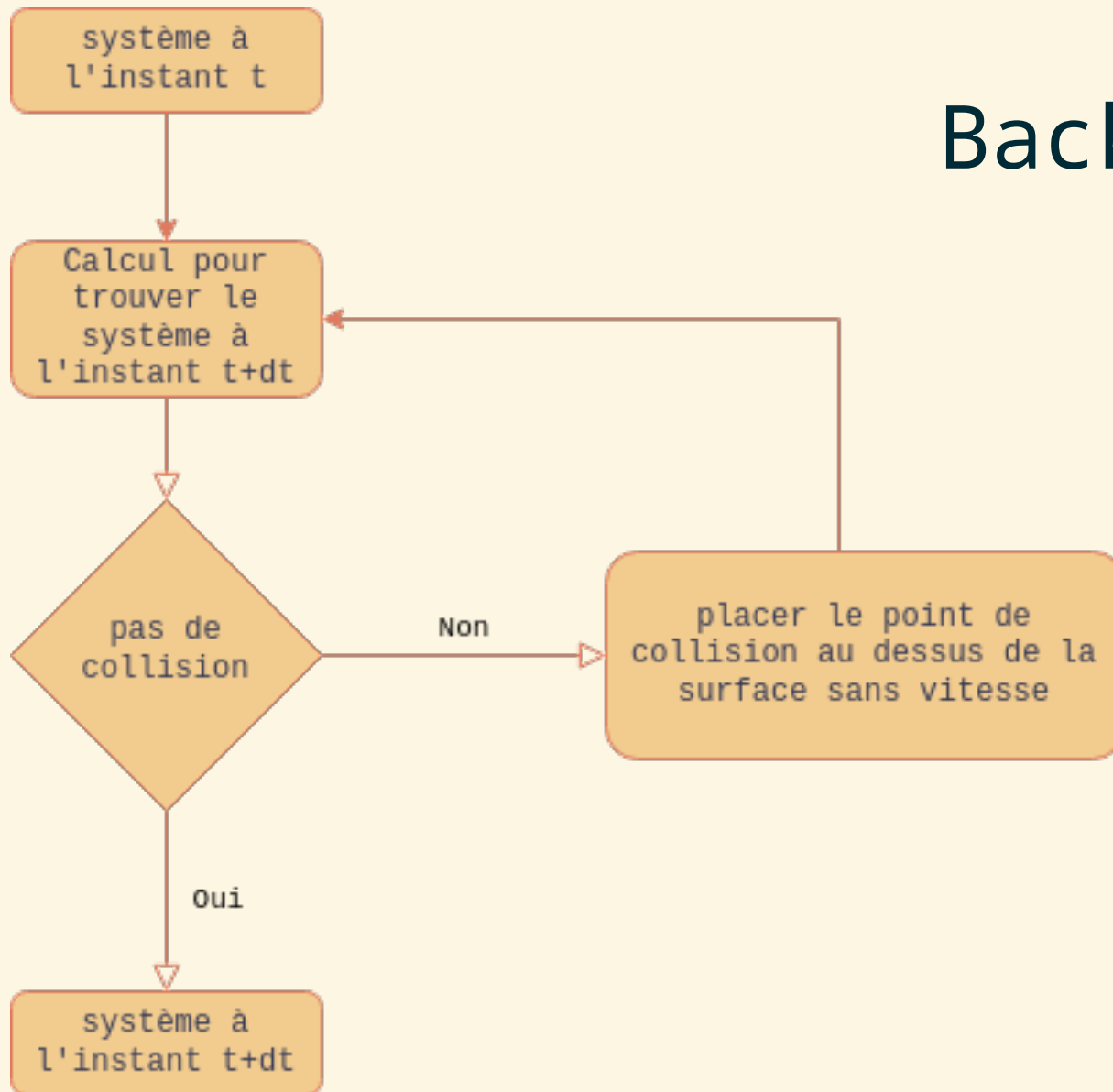


$K = 1.0e - 4$

Position moyenne verticale en fonction du temps

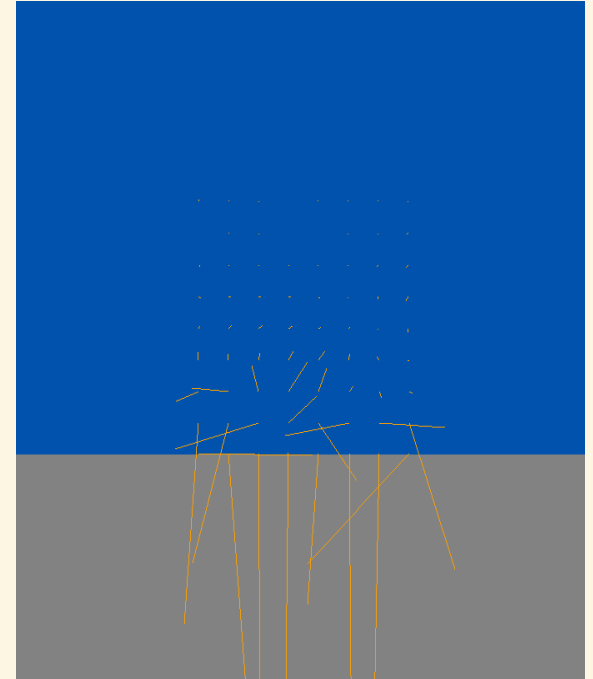
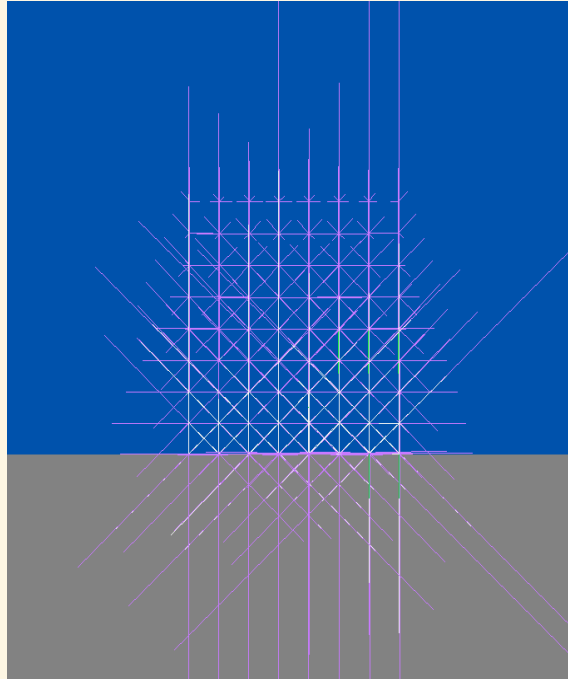
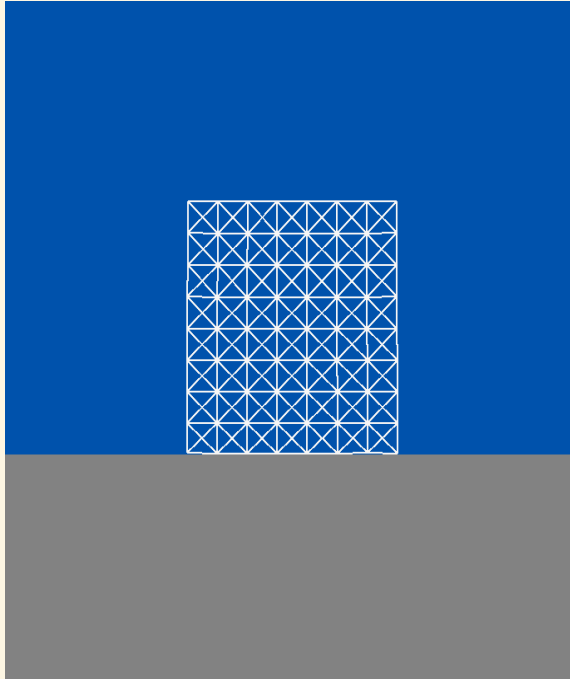


# Backtracking



forces

accélération



gravité

frottement du  
ressort

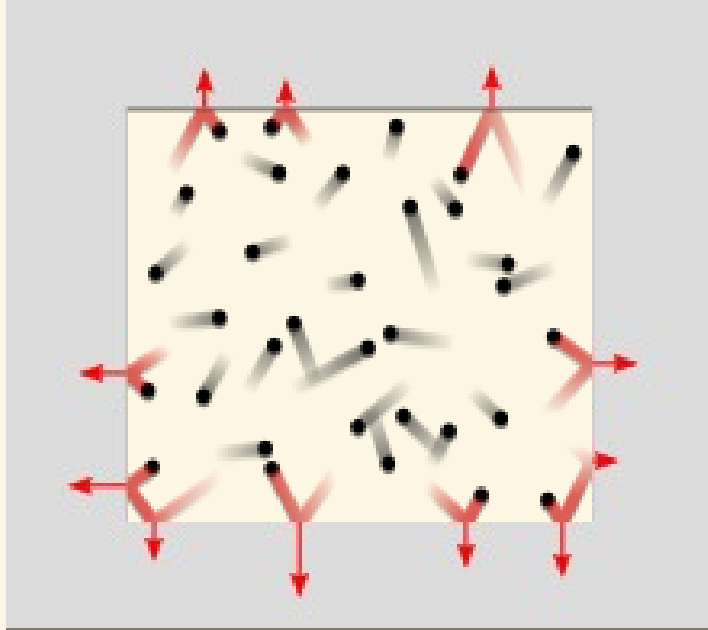
force de ressort  
élastique

Problèmes :

Nombreux calculs de replacement  
Imprécision sur les points à la  
surface

# III. Deuxième approche

# Modèle du gaz parfait



$$\vec{F} = P d\vec{S}$$

$$P = \frac{nRT}{V}$$

$$\vec{F} = K_{nRT} \frac{1}{V} d\vec{S}$$

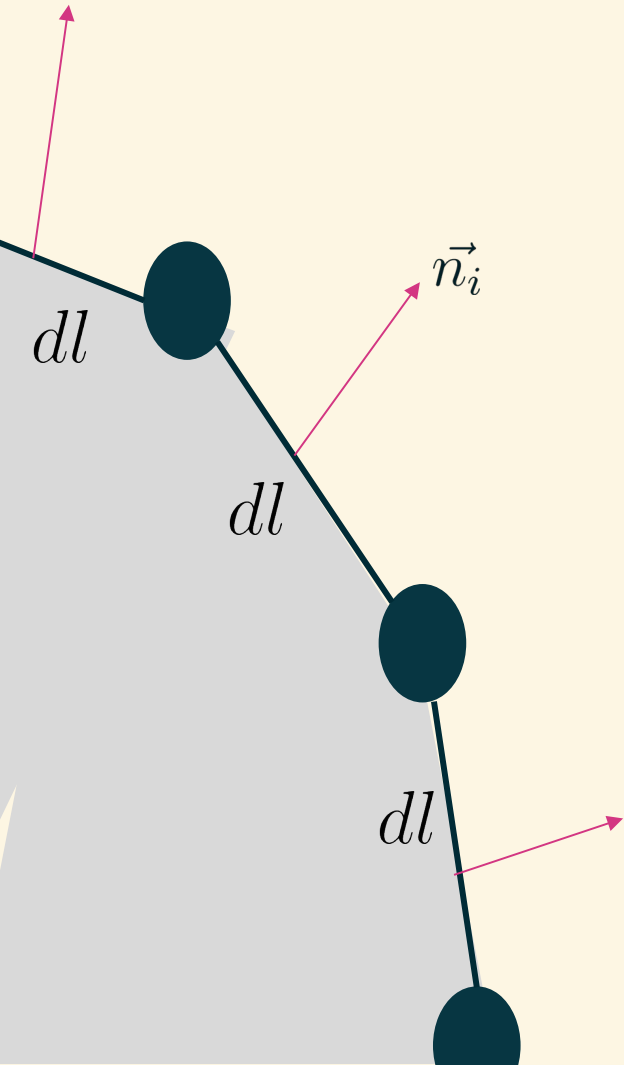
# Calcul du volume

Théorème de Stokes :

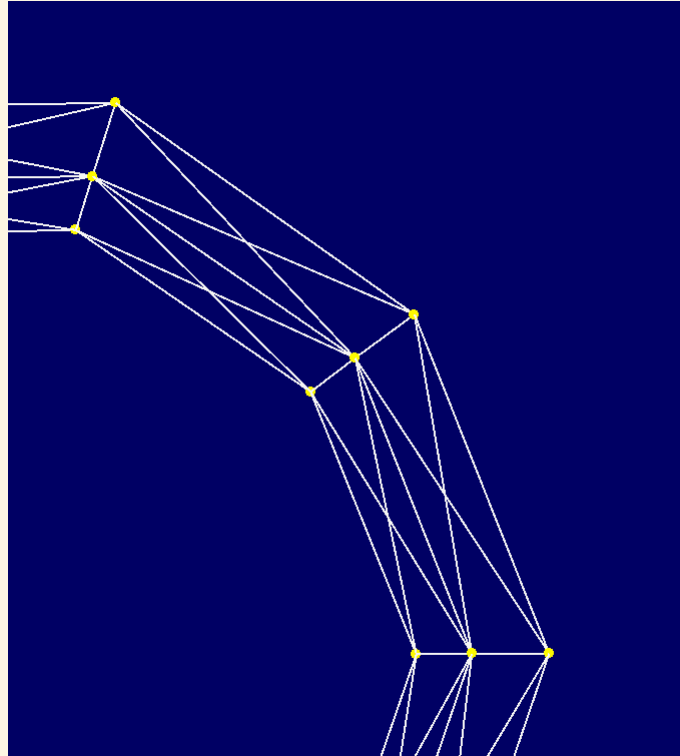
$$\boxed{\iint_S \operatorname{div} \vec{F} \cdot d\vec{S} = \oint_C \vec{F} \cdot d\vec{l}}$$

$\vec{F} = x\vec{e}_x$	$\vec{F} \cdot d\vec{l}$
$\operatorname{div} \vec{F} = 1$	$= \vec{F} \cdot \vec{n} dl$
	$= x \cdot n_x \cdot dl$

$$S \approx \sum x_i \cdot n_i \cdot dl$$



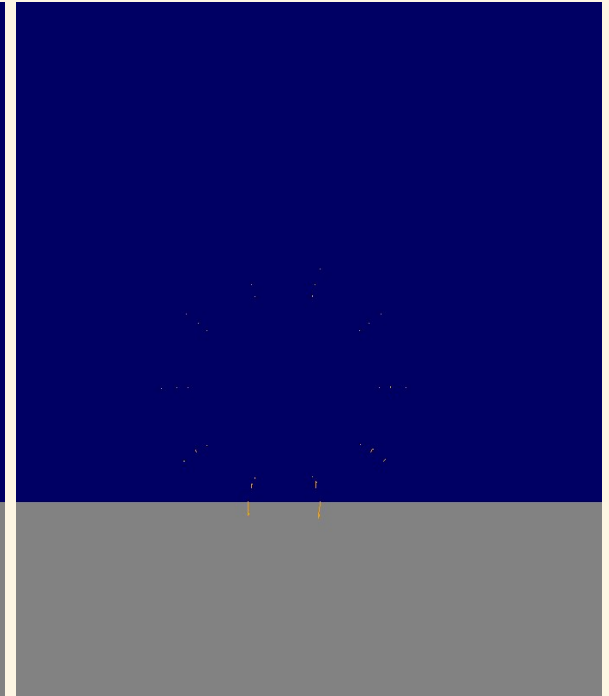
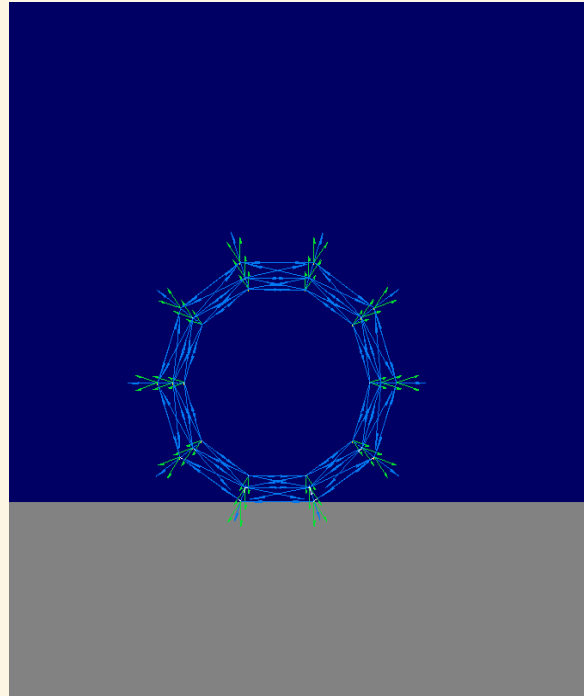
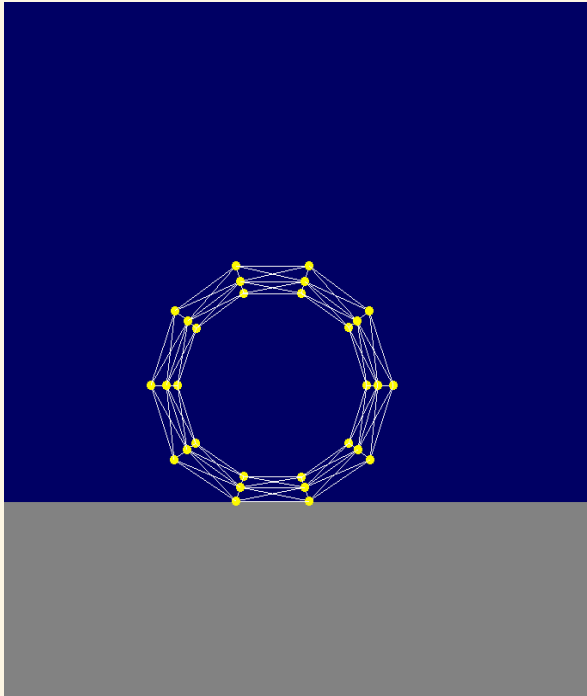
# Compromis ressort/gaz



# Résultat

forces

accélération



gaz

gravité

force de ressort  
élastique



# Améliorations possibles

